

Boletín
de Alerta
Climático



BAC

425

Febrero 2026

ERFEN

Comité Científico Regional
para el Estudio del
Fenómeno El Niño

CPPS

Comisión Permanente
del Pacífico Sur

IDEAM-DIMAR/CCCP

Colombia

INOCAR/ INAMHI

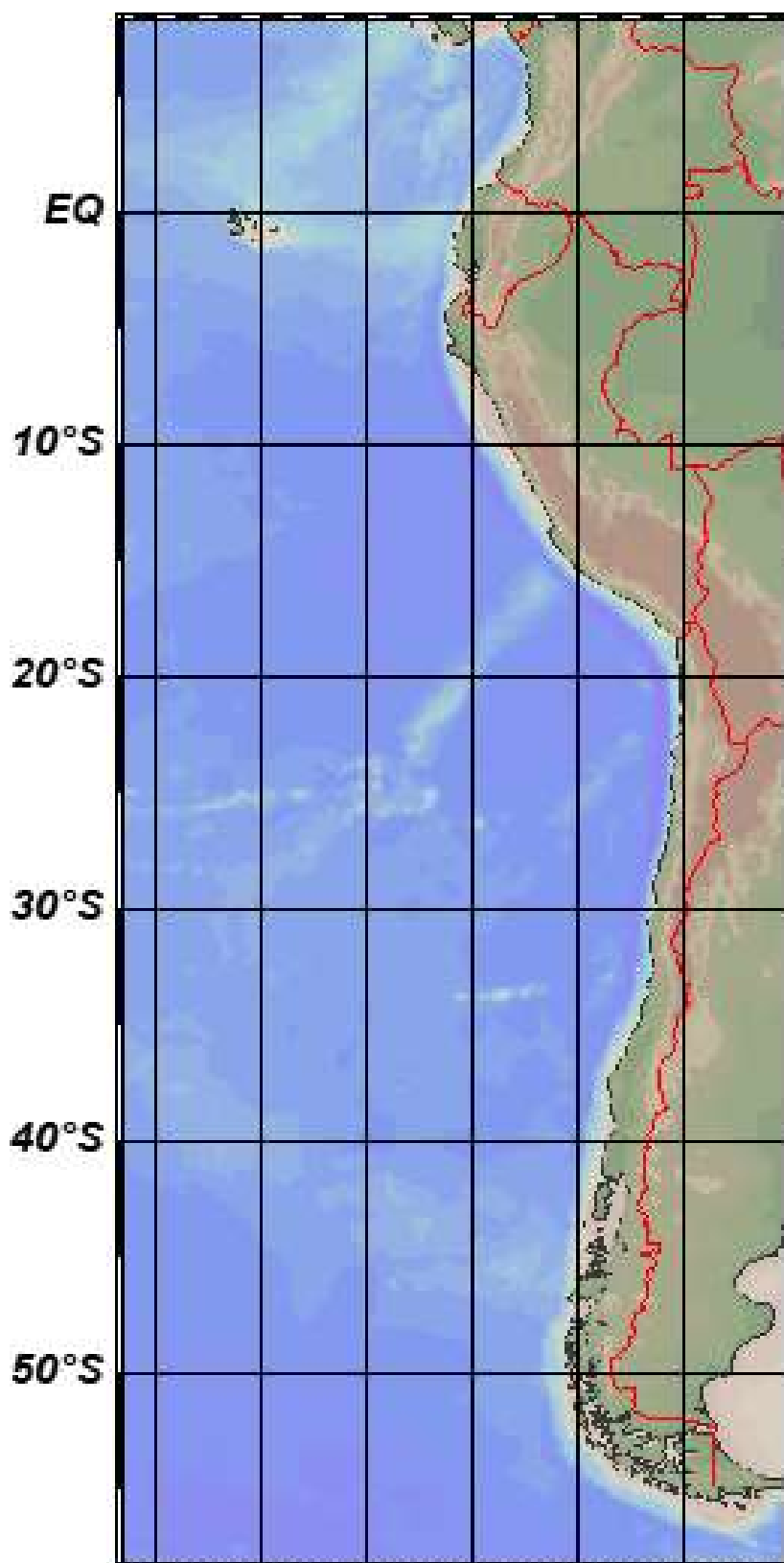
Ecuador

DIHIDRONAV

Perú

SHOA-DMC

Chile



12 marzo 2026

Contenido

| | |
|--|----|
| RESUMEN | 3 |
| ABSTRACT | 4 |
| I. CONDICIONES OCEANOGRÁFICAS Y ATMOSFÉRICAS | 5 |
| 1.1. PACÍFICO TROPICAL | 5 |
| 1.1.1. PRESIÓN ATMOSFÉRICA | 5 |
| 1.1.2. VIENTOS | 5 |
| 1.1.3. PRECIPITACIÓN | 6 |
| 1.1.4. TEMPERATURA SUPERFICIAL DEL MAR | 6 |
| 1.2. PACÍFICO ECUATORIAL | 7 |
| 1.2.1. ESFUERZO DEL VIENTO – ISOTERMA DE 20 °C – NIVEL DEL MAR – TEMPERATURA SUPERFICIAL DEL MAR | 7 |
| 1.2.2. TEMPERATURA SUPERFICIAL DEL MAR EN REGIONES NIÑO | 7 |
| 1.2.3. TEMPERATURA SUB SUPERFICIAL | 8 |
| 1.2.4. ÍNDICES | 9 |
| 1.3. REGIONAL | 10 |
| 1.3.1. VIENTOS | 10 |
| 1.3.2. PRECIPITACIÓN | 11 |
| 1.3.3. TEMPERATURA DEL MAR | 12 |
| 1.3.4. SALINIDAD DEL MAR | 16 |
| 1.3.5. NIVEL DEL MAR | 18 |
| 1.3.6. TEMPERATURA DEL AIRE | 19 |
| II. MODELOS NUMÉRICOS DE PRONÓSTICO CLIMÁTICO | 19 |
| III. PERSPECTIVAS CLIMÁTICAS | 21 |
| 3.1. Colombia | 21 |
| 3.2. Ecuador | 21 |
| 3.3. Perú | 21 |
| 3.4. Chile | 21 |

RESUMEN

En el presente boletín se exponen las condiciones oceanográficas y meteorológicas promedio de febrero 2026, en el océano Pacífico, entre 10°N y 40°S, que incluye el mar frente a las costas de Colombia, Ecuador, Perú y Chile. La información presentada hace énfasis en la relación de la variabilidad océano-atmósfera con la evolución de condiciones actuales asociado a la fase neutra de EL Niño-Oscilación del Sur (ENOS).

La información oceanográfica y atmosférica observada, así como los índices asociados a esta información muestran el término del proceso de transición de un escenario ligeramente frío a normal a nivel superficial; es decir que, actualmente la interacción océano atmósfera está dentro de la fase neutra del ENOS. Sin embargo, la información muestra energía calórica sub superficial y anomalías de viento opuestas en distintas zonas del Pacífico ecuatorial, que puede favorecer la propagación de señales oceánicas de distinta naturaleza a lo largo del ecuador, que repercuten sobre la región del Pacífico Sudeste.

Por otro lado, los modelos climáticos continúan coincidiendo en el posible desarrollo de un evento cálido en el Pacífico Sur, que incluye el Pacífico ecuatorial y Pacífico Suroriental.

ABSTRACT

This bulletin presents the average oceanographic and meteorological conditions for February 2026 in the Pacific Ocean, between 10°N and 40°S, including the waters off the coasts of Colombia, Ecuador, Peru, and Chile. The information emphasizes the relationship between ocean–atmosphere variability and the evolution of current conditions associated with the neutral phase of the El Niño–Southern Oscillation (ENSO).

The observed oceanographic and atmospheric information, as well as the associated indices, indicate the end of the transition from slightly cold to normal surface conditions; that is, ocean–atmosphere interaction is currently within the neutral ENSO phase. However, the data show subsurface heat content and opposing wind anomalies in different regions of the equatorial Pacific, which may favor the propagation of oceanic signals of different nature along the equator, with potential impacts on the Southeast Pacific region.

Furthermore, climate models continue to agree on the possible development of a warm event in the Pacific, including both the equatorial Pacific and the southeastern Pacific.

I. CONDICIONES OCEANOGRÁFICAS Y ATMOSFÉRICAS

1.1. PACÍFICO TROPICAL

1.1.1. PRESIÓN ATMOSFÉRICA

El Anticiclón del Pacífico Sur (APS) continúa configurado zonalmente, en febrero estuvo fortalecido con un núcleo de 1022 hPa y posicionado hacia el oeste de su ubicación climatológica (Figura 1a); lo que evidenció un campo de presión con anomalías negativas (menores a -3 hPa) en la zona central del Pacífico Subtropical, rodeadas por anomalías positivas, mayores a +2 hPa (Figura 1b).

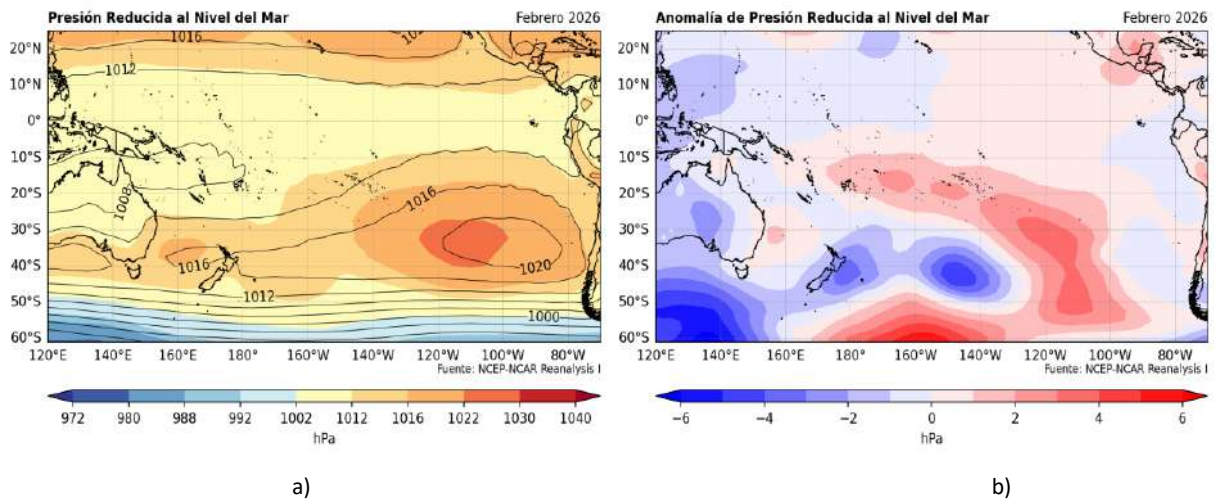


Figura 1. Presión atmosférica a nivel del mar a) Promedio de febrero (shape) y climatología (Líneas negras), b) Anomalía de febrero 2026, climatología 1991-2020. Fuente: NCEP – NCAR Reanalysis.

1.1.2. VIENTOS

Predominaron vientos del este en el Pacífico ecuatorial, resaltando anomalías mayores a 2 m/s entre 180 y 120°W; mientras tanto, en la zona oriental del Pacífico ecuatorial se mantuvo la confluencia de los vientos alisios asociados a la presencia del chorro de Tehuantepec, Papagayo, Panamá y el Jet de Bajos Niveles del Caribe (Figura 2).

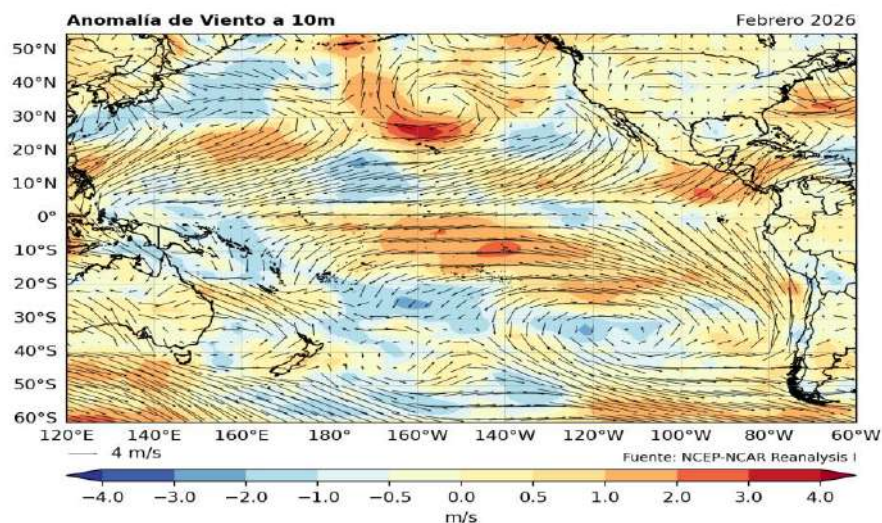


Figura 2. Dirección del viento (flechas) y anomalía de la velocidad (colores), febrero 2026. Climatología 1991-2020. Fuente: NCEP-NCAR Reanalysis.

1.1.3. PRECIPITACIÓN

La Zona de Convergencia Intertropical (ZCIT) tuvo una configuración poco definida y debilitada, presente sólo sobre el Pacífico ecuatorial central. Ante la persistencia de la Baja del Pacífico Norte con configuración meridional se presentaron anomalías de acumulado de precipitación mayor a 500 mm/mes en la región central del Pacífico Tropical. El monzón australiano se mantuvo, pero en menor magnitud respecto a enero, con anomalías de acumulado de precipitación mayor a 500 mm/mes al noreste de la zona continental de Australia (Figura 3a y 3b).

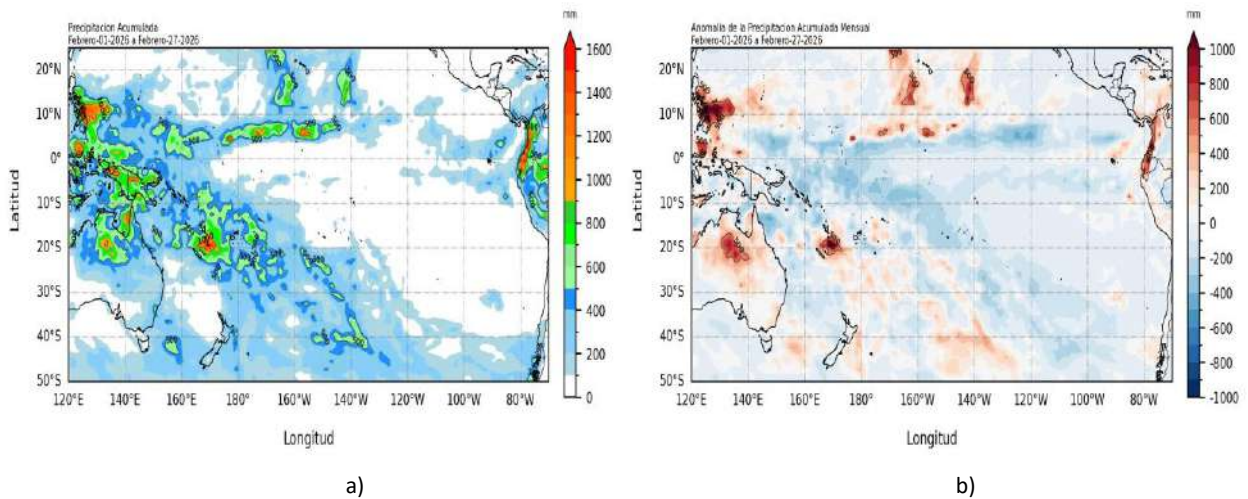


Figura 3. a) Precipitación acumulada y b) anomalía de la precipitación acumulada de febrero 2026. Fuente: GPM_IMERG.

1.1.4. TEMPERATURA SUPERFICIAL DEL MAR

El Pacífico ecuatorial la TSM fluctúa cerca de lo normal, con valores de 28°C a 30°C en la región occidental, disminuyendo hacia las regiones central y oriental, de 28°C a 25°C (Figura 4a); manifestando un escenario ligeramente frío en el Pacífico ecuatorial central y ligeramente cálido en el occidental y oriental (Figura 4b). Por otro lado, al sur de los 20°S dominaron anomalías positivas de TSM en gran parte del Pacífico central y oriental, en esta última desde los 10° S (Figura 4b).

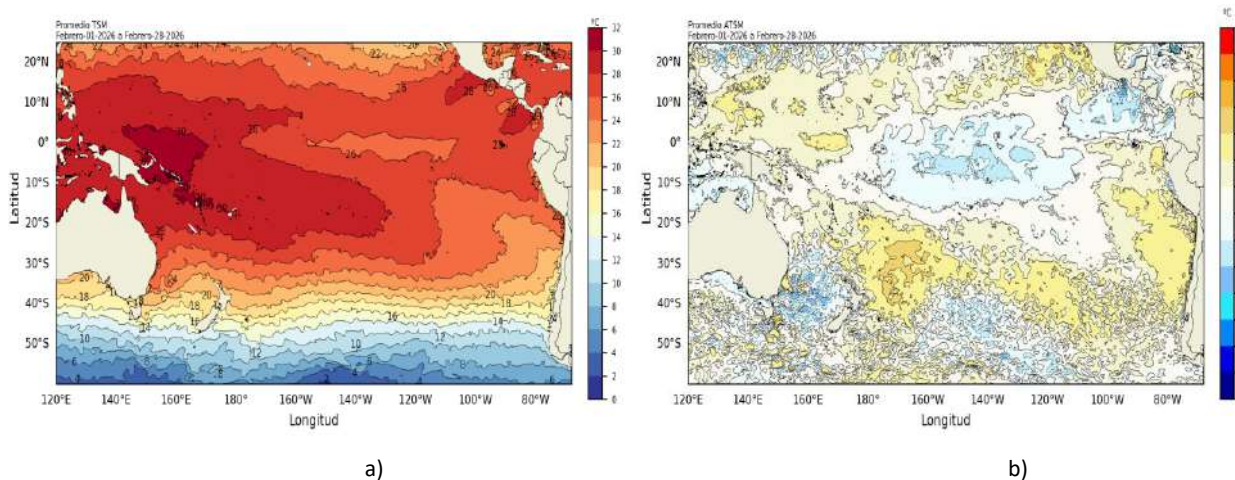


Figura 4. a) Temperatura superficial del mar y b) Anomalía de temperatura superficial del mar en el Pacífico (30°N – 60°S), febrero 2026. Climatología 1991-2020. Fuente: OSTIA.

1.2. PACÍFICO ECUATORIAL

1.2.1. ESFUERZO DEL VIENTO – ISOTERMA DE 20 °C – NIVEL DEL MAR – TEMPERATURA SUPERFICIAL DEL MAR

El esfuerzo de viento con anomalías negativas (del este) entre los 170°E y 135°W favoreció a la disminución de la profundidad de la isoterma de 20°C; lo que se asocia a la generación de ondas Kelvin frías y a la disminución del nivel del mar en esta región (Figura 5a, 5b y 5c). Por otro lado, al oeste de 160°E predominaron esfuerzos de viento con anomalías positivas (del oeste), lo que podría generar una nueva onda Kelvin cálida (Figura 5a y 5b). La TSM fluctuó cerca de lo normal al este de 180°, excepto cerca de la costa Sudamericana (al este de 100° W), donde presentó anomalías positivas en el orden de 1°C a 2°C (Figura 5d).

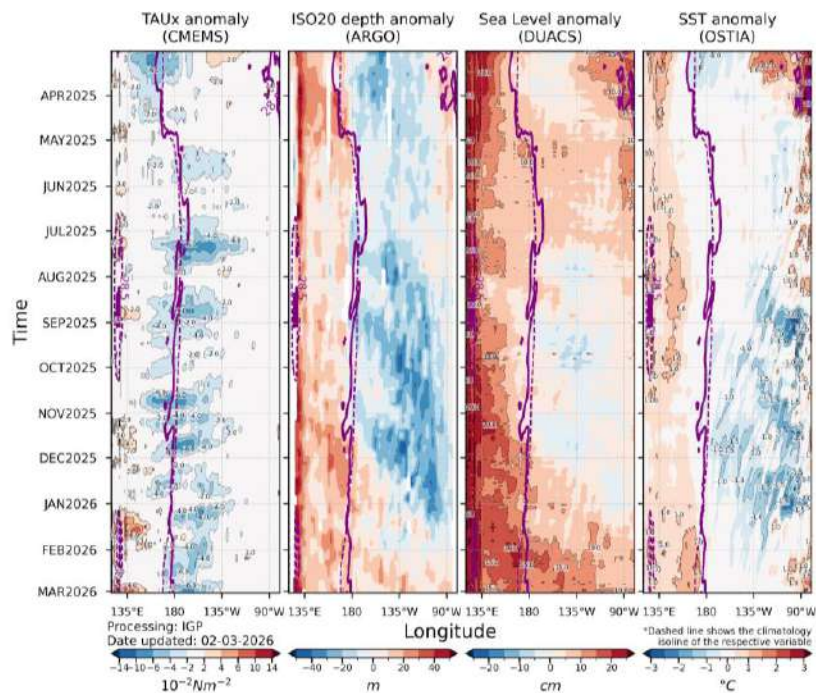


Figura 5. a) Anomalía de esfuerzo del viento zonal b) profundidad de isoterma de 20°C, c) NM, y d) TSM. Promedio 02°N-02°S entre marzo 2025 y febrero 2026. Fuente: a) ASCAT/ b) ARGO/ c) DUACS/ d) OSTIA. Gráfica: IGP.

1.2.2. TEMPERATURA SUPERFICIAL DEL MAR EN REGIONES NIÑO

Las anomalías semanales de la TSM continuaron con valores negativos en Niño 3.4, pero cercanos de cero; en tanto que, en Niño 3 y Niño 4 fueron positivos, sin alcanzar el 0.5 °C (Figura 6). En Niño 3.4 la anomalía mensual de febrero 2026 fue de -0.34 °C, lo que conllevó al ONI de enero 2026 de -0.4 °C, es decir pasó de condición fría a condición neutra (Tabla 1).

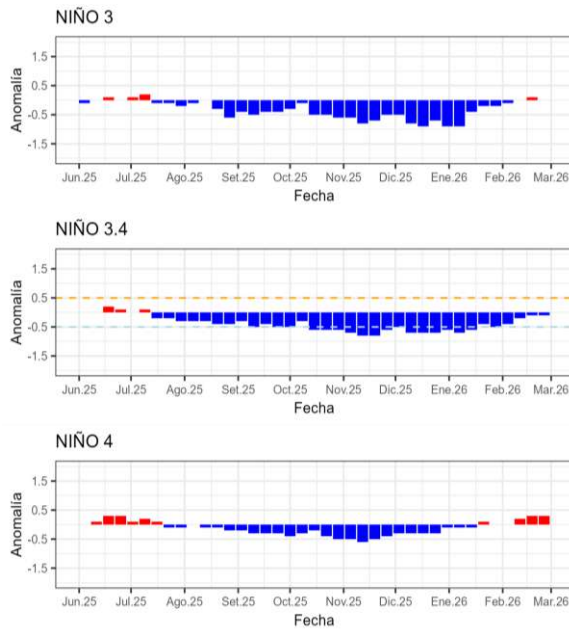


Tabla N° 1. Temperatura superficial del mar y su anomalía mensual e índice oceánico El Niño (ONI). Fuente ERSSTv5.

| Mes | Niño 3.4 | | ONI |
|--------|----------|---------------|------|
| | TSM | -ATSM Mensual | |
| Ago 25 | 26.49 | -0.36 | -0.3 |
| Sep 25 | 26.25 | -0.47 | -0.4 |
| Oct 25 | 26.22 | -0.50 | -0.5 |
| Nov 25 | 26.01 | -0.70 | -0.6 |
| Dic 25 | 25.93 | -0.67 | -0.5 |
| Ene 26 | 25.96 | -0.58 | -0.4 |
| Feb 26 | 26.41 | -0.34 | - |

Figura 6. Anomalías semanales de la TSM por regiones Niño. Fuente OISST.

1.2.3. TEMPERATURA SUB SUPERFICIAL

En la región occidental, por debajo de los 100 m de profundidad, el núcleo de anomalías de +4 °C identificada en febrero se proyectó gradualmente hacia la región oriental, disminuyendo ligeramente su intensidad en la región occidental e incrementando en la central y oriental, con anomalías de +2 °C y +1 °C, respectivamente. Por otro lado, en la superficie entre 180° y 130 ° W se mantienen sobre los 50 m valores ligeramente por debajo de lo normal (Figura 7).

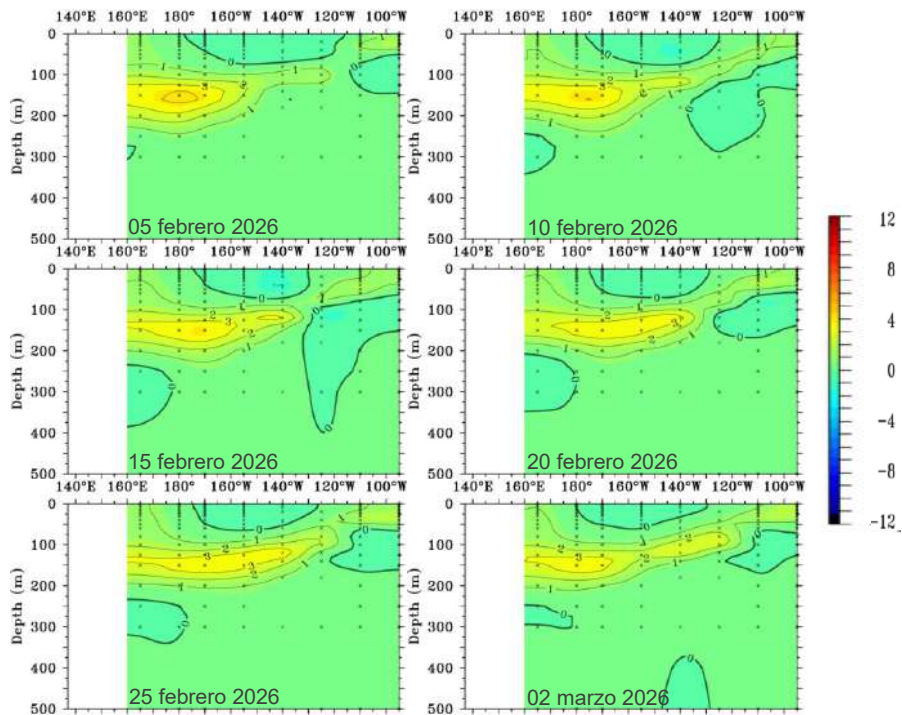


Figura 7. Anomalía de temperatura sub superficial (°C) en el Pacífico ecuatorial (02° N - 02° S), promedio de cinco días, finalizando los días 05, 10, 15, 20 y 25 de febrero 2026 y 02 de marzo 2026. Fuente: TAO/TRITON, PMEL/NOAA.

1.2.4. ÍNDICES

El ONI indicó el declive del escenario frío débil, cambiando a un valor neutro para enero (Figura 8a); asimismo, el ICEN muestra un cambio rápido hacia un valor negativo (-0.51); sin embargo, aún dentro de condición neutra para la región Niño 1+2 (Figura 8b). Por el contrario, el IOS aumentó (1.4) su valor positivo, lo cual sugiere un mayor reforzamiento de los vientos alisios en el Pacífico ecuatorial, guardando relación con el escenario térmico en el Pacífico ecuatorial (Figura 8c). Consistentemente, el OLR también evidenció un incremento (1.2), mostrando convección suprimida sobre el Pacífico ecuatorial central (figura 8d). El PDO permaneció negativo, siendo favorable para las condiciones frías a nivel tropical (Figura 8e). Finalmente, el contenido de calor sub superficial mostró una evolución importante, incrementando su valor positivo (1.18), evidenciando una recarga de calor en el Pacífico ecuatorial central-oriental (Figura 8f).

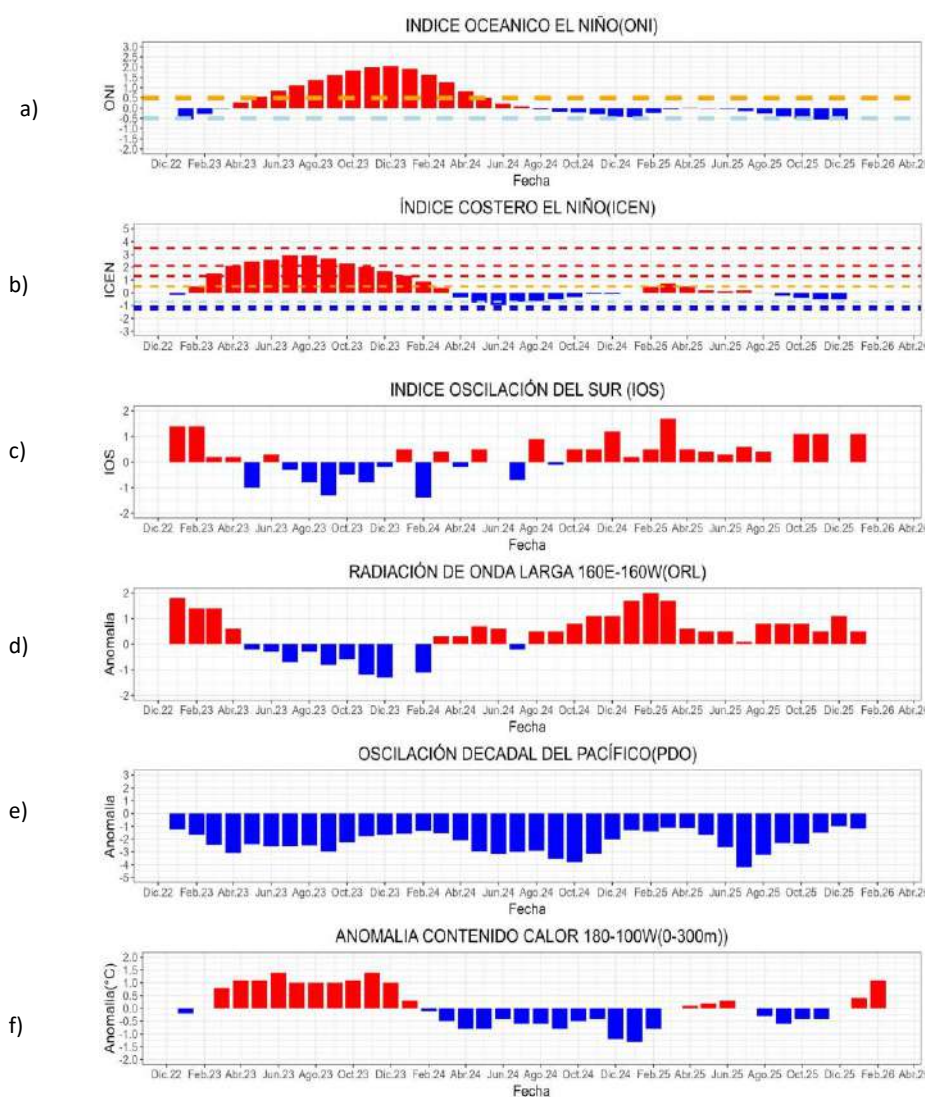


Figura 8. Índices climáticos a) ONI, b) ICEN, c) IOS, d) OLR, e) PDO y f) anomalía del contenido de calor. Climatología 1991- 2020. Fuente: NOAA, NCEI.

1.3. REGIONAL

1.3.1. VIENTOS

El viento en la región predominó con diferentes direcciones y velocidades; vientos del noreste y de hasta 3 m/s frente de la costa de Colombia y Ecuador, del sureste hasta 5 m/s frente de la costa de Perú. En Chile, varió entre el norte, centro y sur, viento del sur de hasta 8 m/s en el norte, del oeste de hasta 10 m/s en el centro, y del noroeste de 10 m/s a 12 m/s en el sur.

En relación a la anomalía de viento, se presentaron anomalías del noreste de hasta 2 m/s en la región ecuatorial del océano Pacífico, asociadas a la presencia del chorro de Tehuantepec, Papagayo, Panamá y el Jet de Bajos Niveles del Caribe. Frente de Perú predominaron anomalías negativas de velocidad del viento de hasta -1 m/s viento, frente al norte de Chile anomalías del sur de hasta 4 m/s y frente al sur de Chile anomalías del suroeste de la misma magnitud; asociadas a la configuración zonal del APS (Figura 9b).

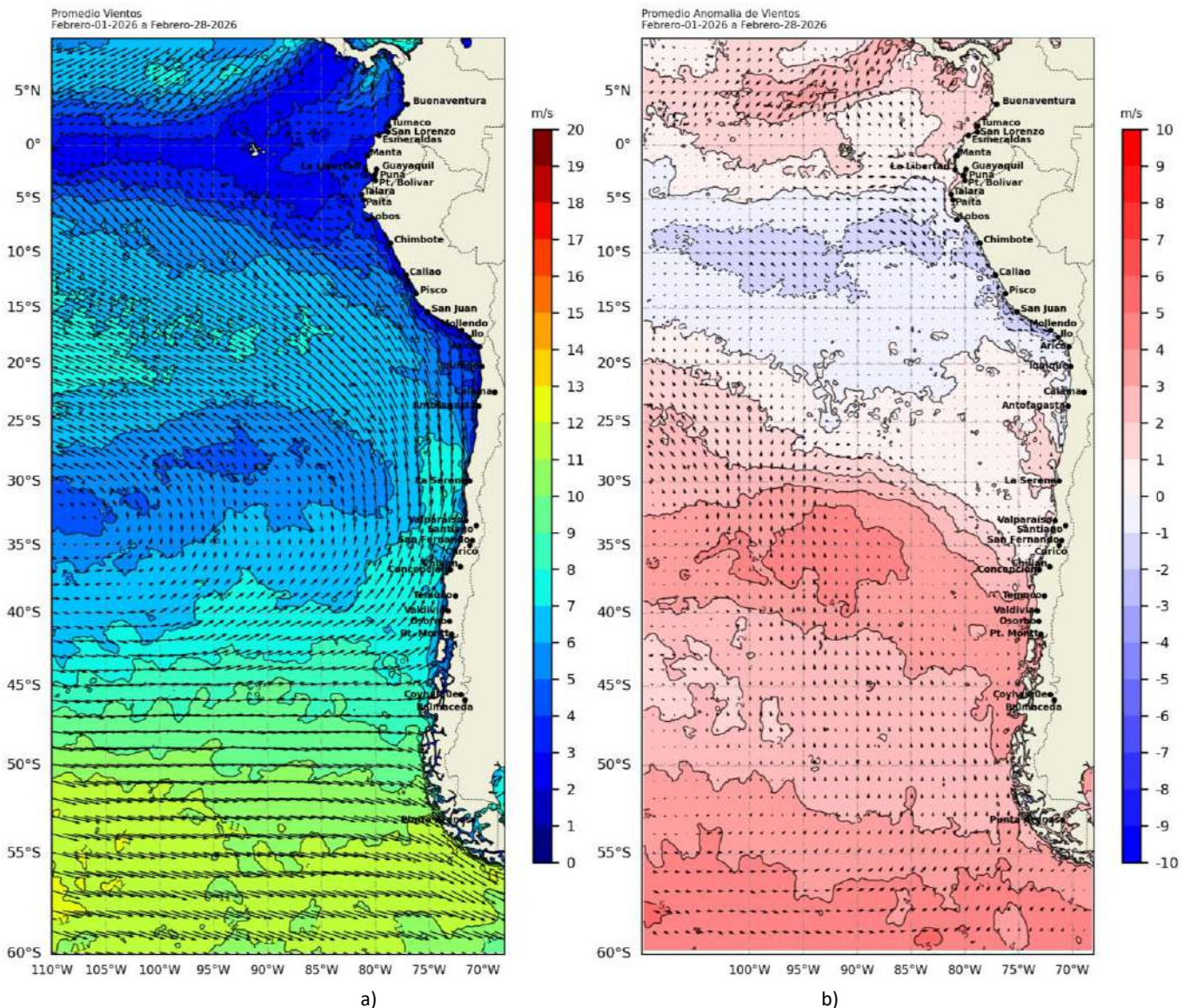


Figura 9. Carta de a) Viento y b) Anomalia de viento a 10m frente a la costa oeste de Sudamérica, febrero 2026. Climatología 1991-2020. Fuente: NOAA CoastWatch, NCEI.

1.3.2. PRECIPITACIÓN

En Colombia, dominaron lluvias por encima y muy por encima de lo normal, incluyendo el área insular Caribe; mientras que, muy por debajo de lo normal se reportó en amplias extensiones de La Guajira y sectores de Norte de Santander, Chocó y Vaupés. El comportamiento normal se presentó en zonas de menor extensión que se distribuyeron particularmente sobre la región Andina. En Ecuador, se observó un patrón con predominio de superávits en varias estaciones del Litoral interior y de estribaciones andinas, mientras que se mantienen déficits puntuales en ciertos sectores insulares y costeros. En Chile, las estaciones ubicadas al sur y austral del país han presentado superávit de precipitaciones de hasta 60%, mientras que en el resto de estaciones se mantuvieron déficits de hasta 100% de precipitación (Figura 10b). En Perú se mantuvieron predominantes las anomalías porcentuales positivas de precipitación acumulada, con énfasis en las estaciones costeras, mientras que en la zona oriental de la cordillera sur se presentaron anomalías negativas (Figura 10c).

En cuanto a la variación espacial de la precipitación en las estaciones costeras de la región, se presentaron acumulados mayores a 500 mm/mes desde Ecuador hasta el norte de Perú, y de 50 mm/mes en el sur de Chile (Figura 10d).

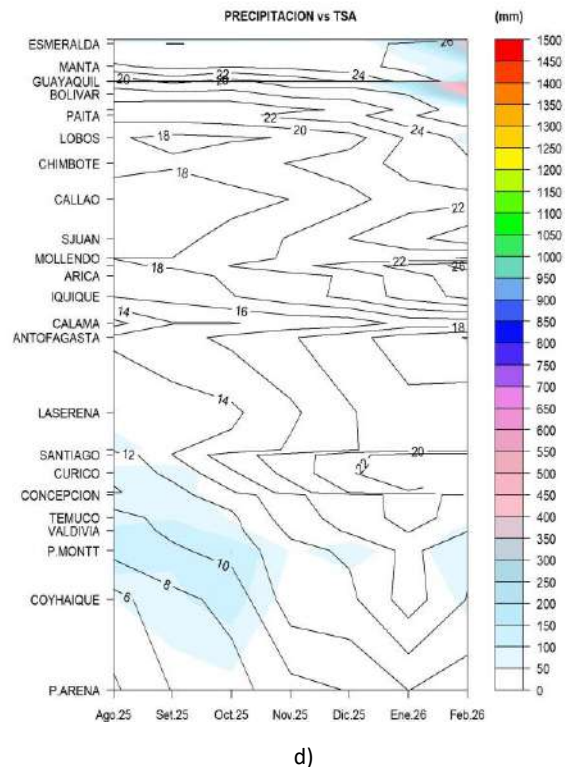
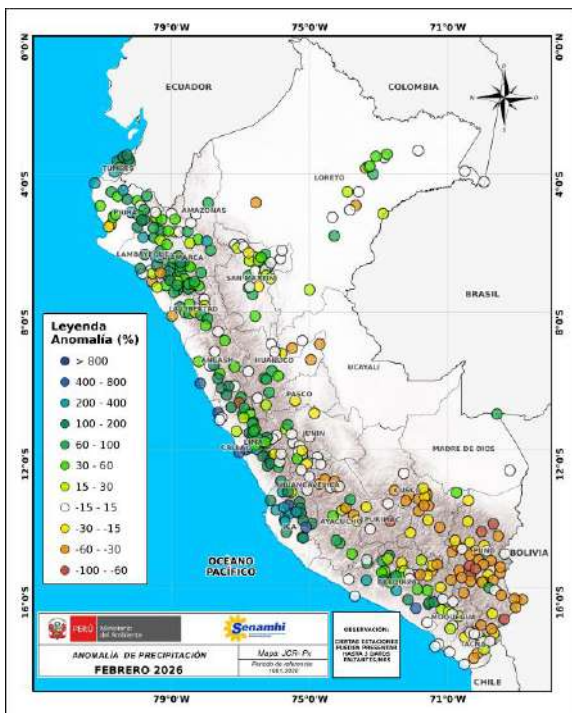
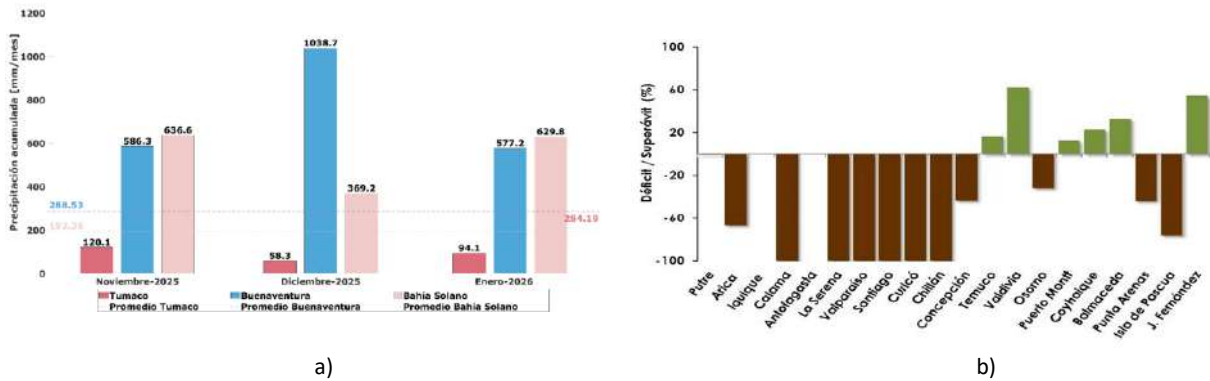


Figura 10. a) Precipitación acumulada de enero en Colombia, b) Anomalía de precipitación acumulada de febrero en Chile, c) Mapa espacial de anomalía de la precipitación promedio de febrero en Perú y d) Hojvöller de la precipitación acumulada (colores) y temperatura del aire (contornos) con datos de estaciones costeras de la región, periodo agosto 2025 a febrero 2026. Fuente CCCP-Colombia, INOCAR-Ecuador, SENAMHI-Perú y DIHIDRONAV-Perú, DMC-Chile.

1.3.3. TEMPERATURA DEL MAR

La temperatura dominó con valores de 26°C a 28°C al norte de los 10°S; hacia el sur disminuyó latitudinalmente desde 26°C hasta 20°C a la altura de Talcahuano (Chile). Al sur de los 40°S, la TSM disminuyó gradualmente hasta 8°C (sur de Chile). Estas condiciones térmicas manifestaron un escenario cálido al norte del ecuador geográfico, ampliando su extensión hacia el oeste con el aumento de las latitudes (Figura 11a, 11b).

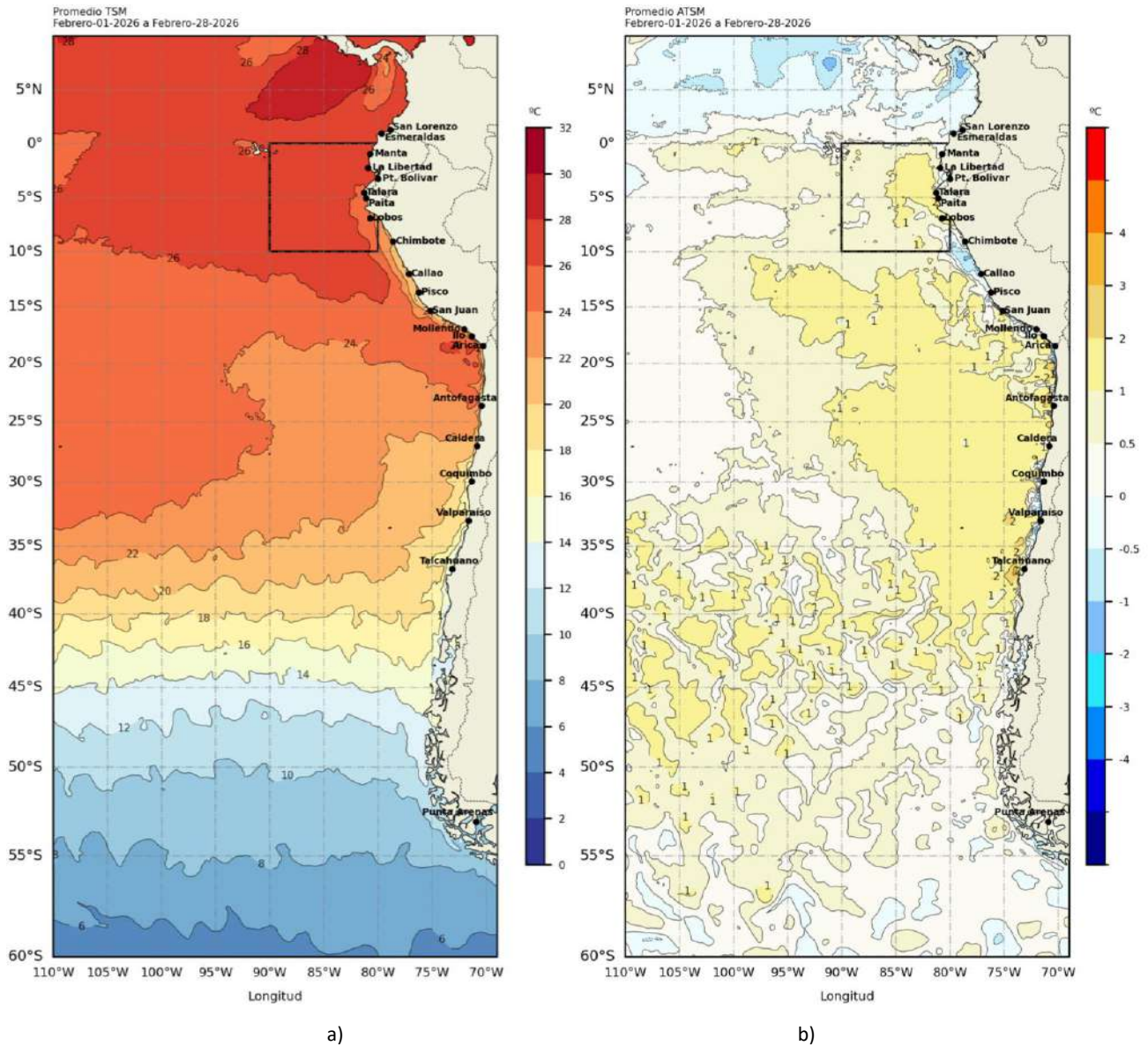


Figura 11. a) Mapa de TSM en la región de febrero de 2026, b) Mapa de la ATSM en la región de febrero 2026 frente a la costa oeste de Sudamérica (Climatología 2007-2020). Fuente: OSTIA.

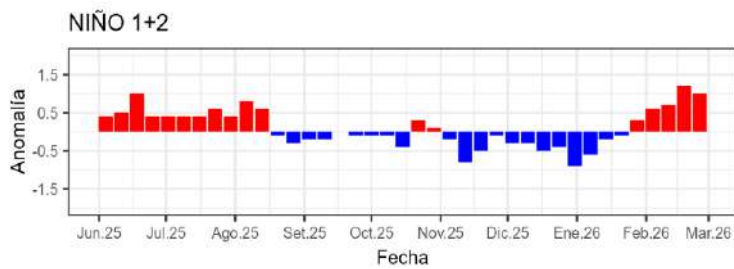


Figura 12. Anomalías semanales de la temperatura superficial del mar en Niño 1+2, de los últimos nueve meses. Fuente: OISST.

En el litoral, la temperatura superficial del mar mensual estuvo entre 24°C y 26°C entre Esmeraldas (Ecuador) y Puerto Bolívar (Ecuador), manteniendo valores cercanos de cero; mientras que, entre la costa norte y centro de Perú (Entre Talara y Chimbote) se evidenció un calentamiento a través de anomalías de hasta +2°C; asimismo, entre Arica (Chile) y Coquimbo (Chile) también se suscitó un incremento térmico que desarrolló anomalías de hasta +1.5°C. Por otro lado, entre Callao (Perú) e Ilo (Perú) las anomalías negativas alcanzaron a -1.5°C; en tanto que, al sur de Valparaíso las anomalías positivas disminuyeron hasta valores cercanos de cero (Figura 13a y 13b).

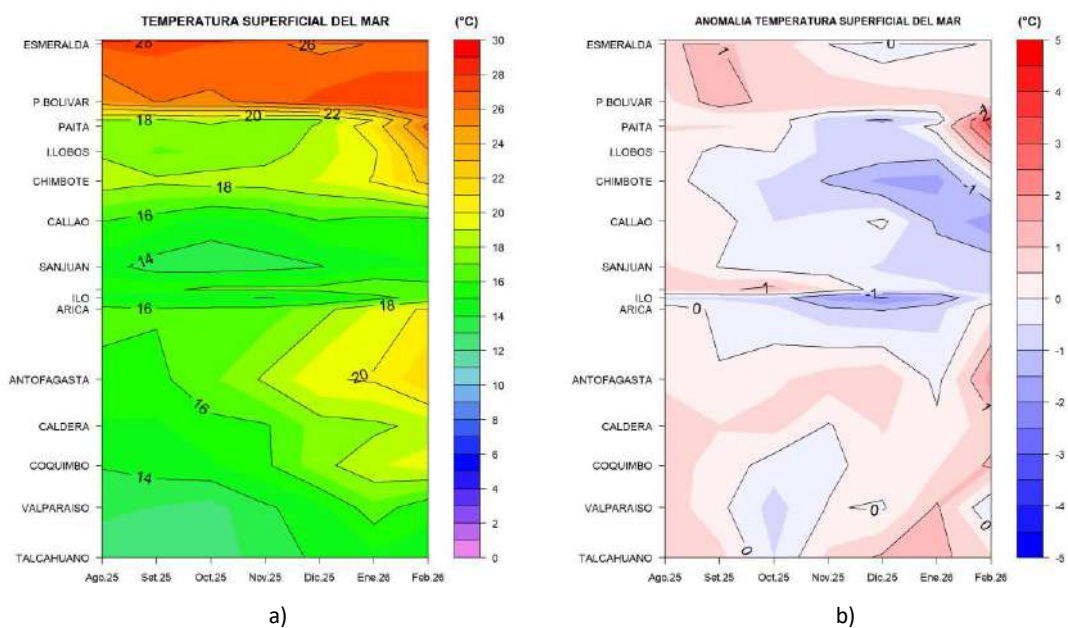


Figura 13. a) Hovmöller de la TSM de las estaciones en el litoral de Ecuador, Perú y Chile b). Hovmöller de la ATSM de las estaciones en el litoral de Ecuador, Perú y Chile (Climatología 1991-2020). Fuente: INOCAR-Ecuador, DHN-Perú, SHOA-Chile.

A nivel sub superficial, frente de Ecuador (boya 1) se observó un calentamiento en la superficie y la profundización de las isotermas por encima de los 100 m, con anomalías positivas de hasta +3°C sobre los 120 m. Frente a la costa norte y centro de Perú (boyas 2 a 6) se evidenció un calentamiento pronunciado desde la superficie, alcanzando temperaturas de hasta 24°C; sin embargo, se presentan anomalías negativas de hasta -2°C alrededor de los 100 m, mientras que los primeros 20 m mantienen anomalías positivas. Entre la costa sur de Perú y la costa norte de Chile (boyas 7 y 8), el calentamiento se extiende hasta los primeros 80 m, con anomalías de hasta +4°C. Frente a la costa centro de Chile (boyas 9 y 10), el calentamiento se limita a los primeros 50 m (Figura 14 y Figura 15). Este patrón refleja una estructura térmica vertical estratificada, con predominio de anomalías cálidas en la capa superficial y variabilidad térmica en niveles subsuperficiales.

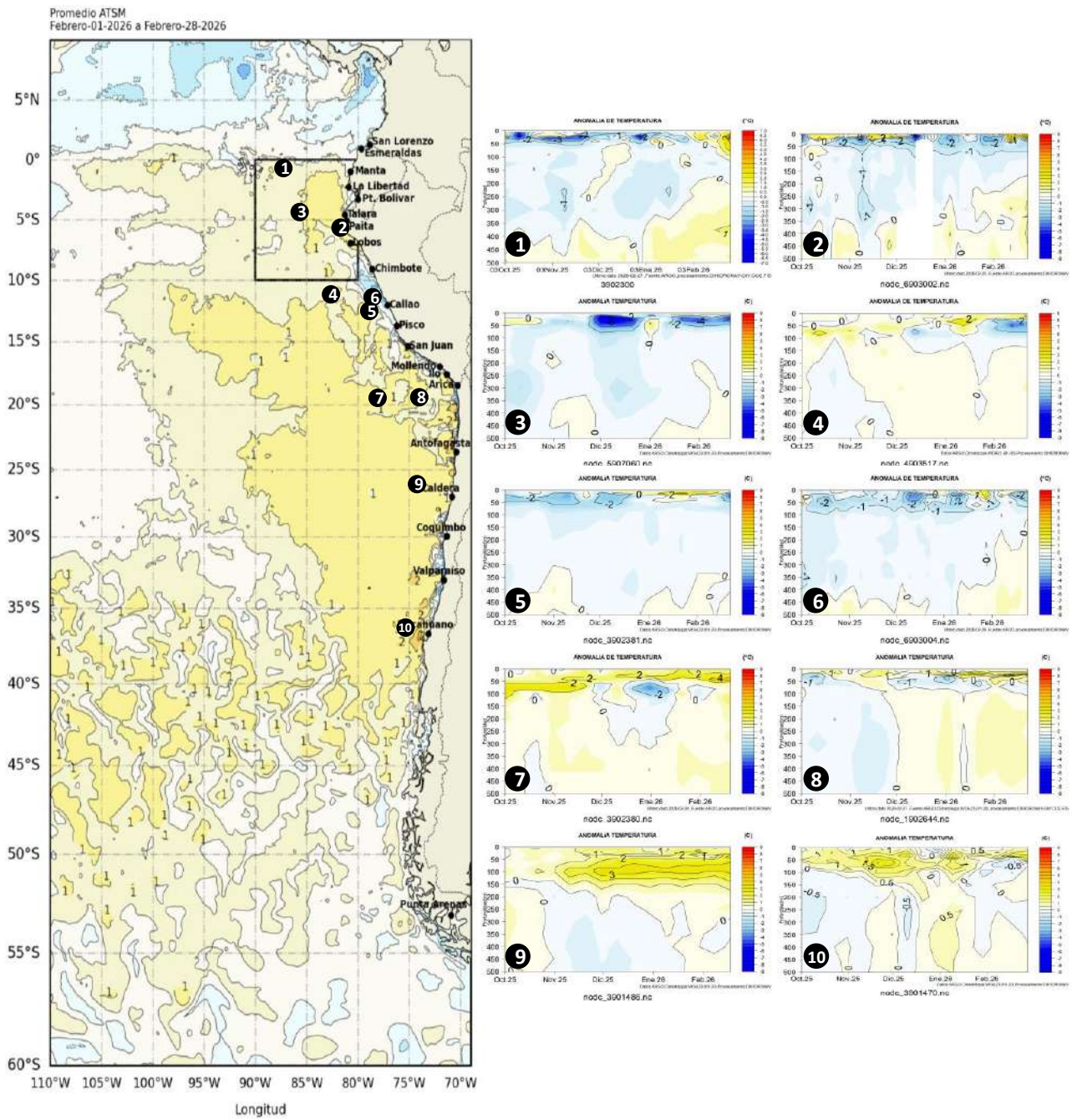


Figura 15. Anomalías de temperatura sub superficial frente a la costa oeste de Sudamérica, de octubre 2025 a febrero 2026. Climatología 1991-2020. Fuente: Boyas ARGO.

La diferencia de temperatura superficial del mar (TSM) entre las estaciones Esmeraldas y Puerto Bolívar fue de 1.4°C; ambas con valores más altos de TSM (> 27.8°C); en tanto que, en las estaciones Manta y La Libertad la TSM fue de 27.0 °C (Figura 16a). Estos valores evidencian condiciones anómalamente cálidas, particularmente en el sur, donde climatológicamente la TSM suele ser varios grados menores que en Esmeraldas. La salinidad superficial osciló entre 31.6 ups (Esmeraldas) y 32.8 ups (Manta y La Libertad), característicos de la época en el norte del mar ecuatoriano; sin embargo, en el sur resultan inferiores a lo esperado (Figura 16b).

Los perfiles verticales de temperatura y salinidad muestran una marcada estratificación, con una capa de mezcla superficial que alcanza aproximadamente los 22 m de profundidad, definida a partir del gradiente térmico. En Esmeraldas se observa un mayor gradiente térmico y halino respecto a las demás estaciones, lo cual se asocia con la influencia de aguas tropicales superficiales provenientes del norte.

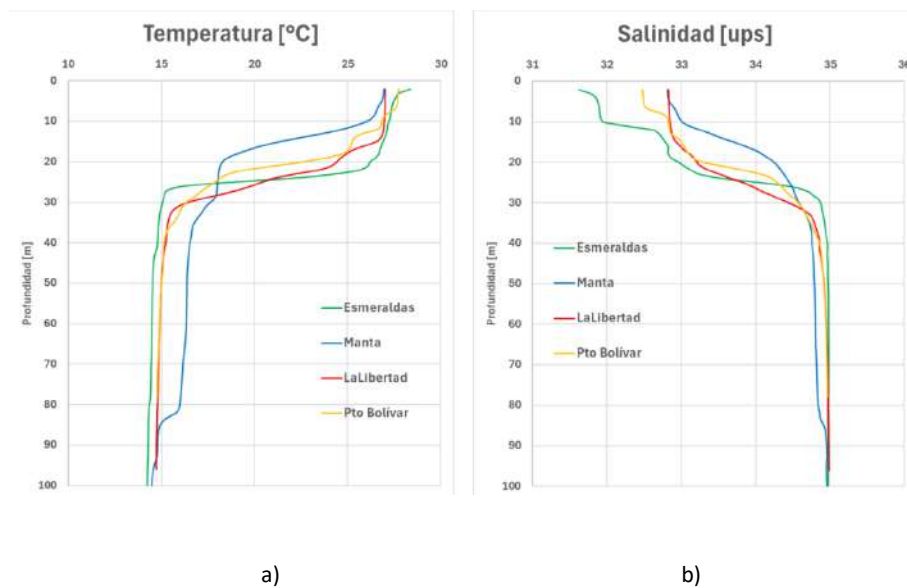


Figura 16. a) Perfiles de Temperatura y b) Salinidad en estaciones ubicadas a 10 millas de la costa en febrero de 2026. Fuente: Inocar.

1.3.4. SALINIDAD DEL MAR

Salinidades menores de 33.8 ups se distribuyeron al norte de los 3°S, asociado a Aguas Tropicales Superficiales (ATS), extendiéndose hacia el sur respecto a enero; mientras que, concentraciones entre 33.8 y 34.8 ups alcanzaron hasta los 8°S, proyectándose más al sur cerca de costa, indicando la presencia de Aguas Ecuatoriales Superficiales (AES) pero con una profundidad alrededor de 10 m. Entre 8°S y 25°S la salinidad fue superior de 35.1 ups de forma oceánica y con alcance vertical de 50 m en promedio, disminuyendo en profundidad para febrero, correspondiendo a Aguas Subtropicales Superficiales (ASS); en tanto que, cerca de la costa centro y sur de Perú y costa norte de Chile la salinidad se ubicó entre 34.9 ups y 35.1 ups, por dentro de las 50 millas, relacionado a aguas de mezcla entre las ASS y ACF. Por otro lado, frente a la costa centro y sur de Chile fue menor de 34.8 y 34.6 ups respectivamente, con alcance de 100 m de profundidad y condición similar a enero, asociado a Aguas Sub-Antárticas (Figura 17).

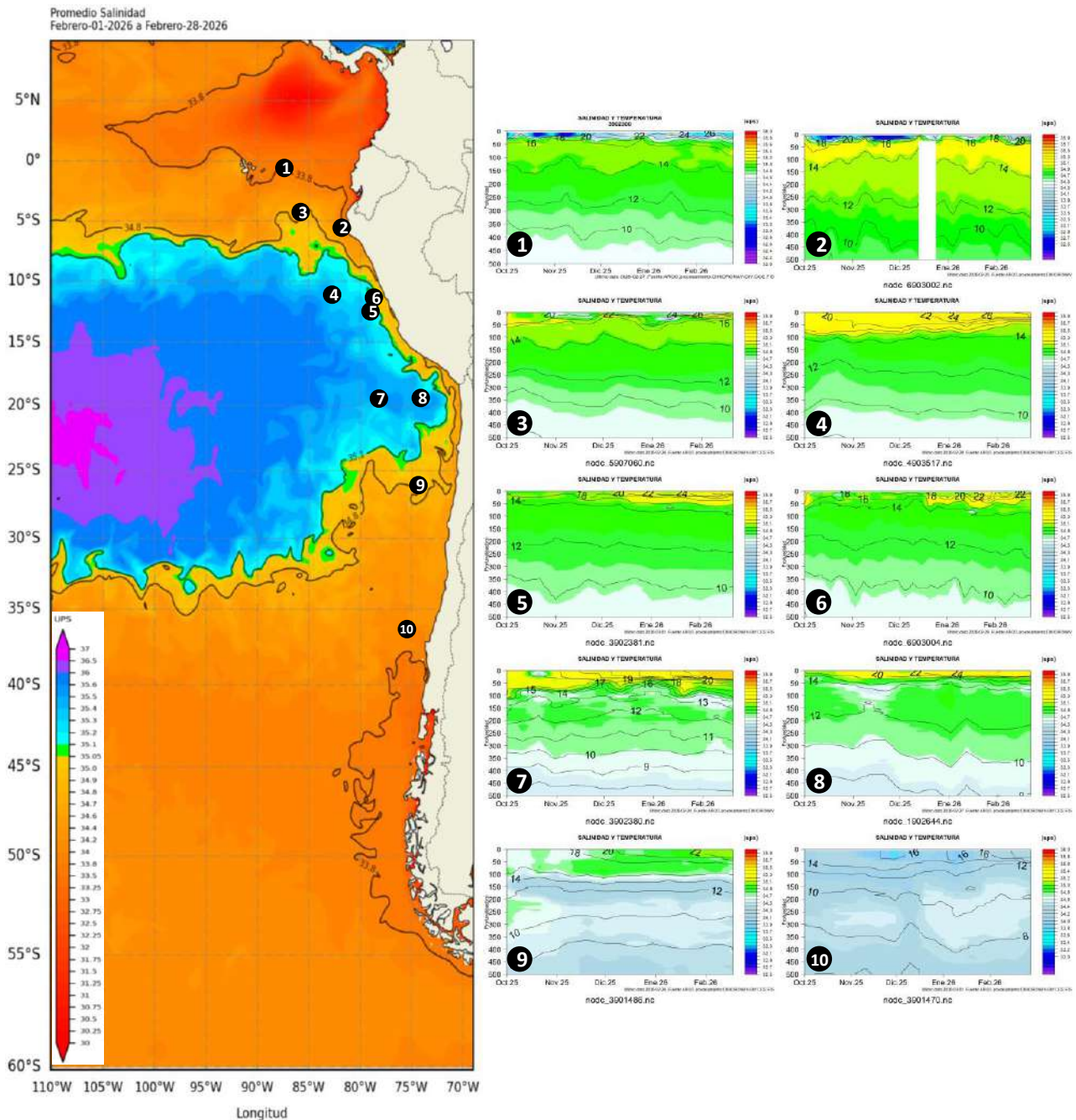


Figura 17. Carta de salinidad superficial del mar de enero 2026 frente a la costa oeste de Sudamérica, y Salinidad (shape) vs temperatura sub superficial (contorno) de octubre 2025 a febrero 2026. Fuente: MERCATOR/ARGO.

1.3.5. NIVEL DEL MAR

Dentro de las 60 millas de costa, el nivel del mar (NM) disminuyó entre los 07°N y 15°S en las primeras semanas de febrero, para luego normalizarse los últimos días del mes; sin embargo, al sur de los 18° S el nivel aumentó, desarrollando anomalías positivas durante la segunda quincena de febrero, lo cual estaría asociado al arribo de una onda Kelvin cálida (Figura 18a). En el litoral, las anomalías positivas presentaron un incremento durante el mes, en promedio alcanzando valores superiores a 10 cm al norte de Chimbote (Perú) y al sur de Arica (Chile) para la segunda quincena observándose la presencia de la onda Kelvin cálida en toda la región a nivel litoral (Figura 18b).

En las Islas Galápagos el NM fluctuó alrededor del nivel medio con momento por debajo de lo normal al norte del archipiélago (I. Baltra); mientras que, hacia el sur del mismo archipiélago (P. Santa Cruz) la anomalía positiva continuó en aumento, alcanzando los mayores valores para la última semana del febrero 2026 (Figura 18c y 18d).

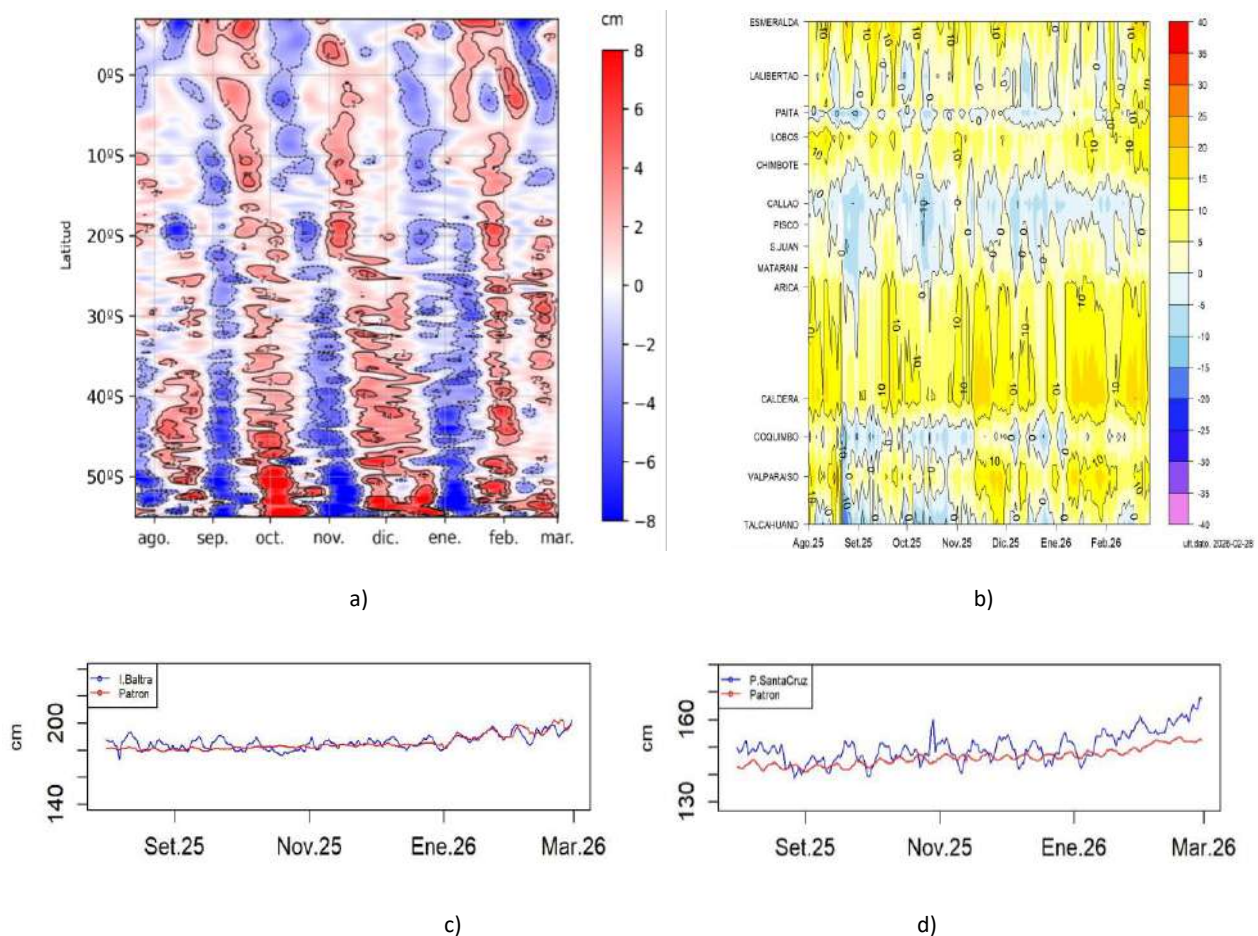


Figura 18. a) Anomalía del nivel del mar promedio de la costa hasta las 60 millas (filtro pasa banda de 10-60 días), b) Anomalía del nivel del mar diario de las estaciones del litoral de la región (Ecuador, Perú y Chile), c) Nivel del mar de Isla Baltra, Galápagos y d) Nivel del mar de Isla Santa Cruz, Galápagos. Periodo de agosto 2025 a febrero 2026. Fuente: INOCAR-Ecuador, DIHIDRONAV-Perú y SHOA-Chile. Satelital: Duacs.

1.3.6. TEMPERATURA DEL AIRE

Se evidencia un rápido incremento de la temperatura del aire, con rangos de 26 a 22°C desde Colombia hasta Perú, de 22°C a 18°C en el norte y centro de Chile, y de 18 a 12°C en el sur de Chile (Figura 19a). En relación a las anomalías de temperatura del aire, se mantiene la tendencia de anomalías positivas de hasta 1°C en la mayoría de estaciones del litoral, a excepción del sur de Perú, con anomalías negativas de hasta -1°C (Figura 19b).

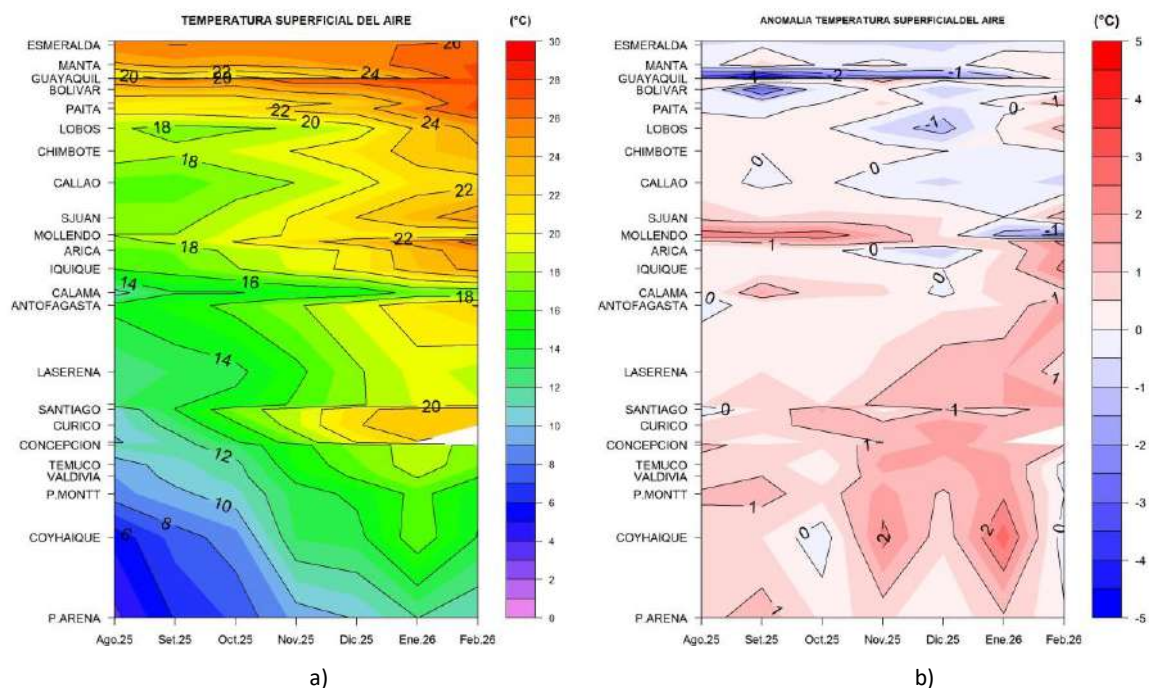


Figura 19. Hovmöller de a) temperatura del aire y b) anomalía de la temperatura del aire en las estaciones en el litoral de Ecuador, Perú y Chile, periodo agosto 2025 - febrero 2026. Climatología 1991-2020. Fuente: INOCAR-Ecuador, DIHIDRONAV-Perú, SHOA-Chile.

II. MODELOS NUMÉRICOS DE PRONÓSTICO CLIMÁTICO

Los modelos de diferentes agencias internacionales, en promedio muestran una condición de transición de normal a cálido en el Pacífico ecuatorial central y un escenario ligeramente cálido en la oriental, para el trimestre marzo-abril-mayo; a pesar que las anomalías negativas de temperatura continúan en la región central. Para el trimestre junio-julio-agosto se desarrollaría un escenario cálido en toda la región del Pacífico ecuatorial, con anomalías de temperatura mayores de +1.0°C al este de los 180°; este escenario cálido se extendería frente de la costa sudamericana, con mayores anomalías entre Colombia y Perú (Figura 20a, 20b).

Respecto a la precipitación, los modelos indican procesos convectivos de sobre lo normal sobre Colombia, Ecuador y la costa norte de Perú en marzo; mientras que, déficit de lluvias en la costa centro de Chile. Para abril se espera condición dentro de lo normal de lluvias en Colombia y Ecuador, pero esperando presencia de precipitaciones de sobre lo normal en el interior de Colombia y la costa norte de Perú. Para mayo se espera condición normal en Perú y Chile, pero déficit de lluvias en Colombia y Ecuador (Figura 20c, 20d, 20e).

La pluma de NMME para la región Niño 3.4 indica condición neutra del ENOS en febrero, presentando una tendencia positiva y esperando se mantenga, la cual alcanzaría la condición cálida (ONI) a partir de junio hasta octubre de 2026, por lo menos (Figura 20f).

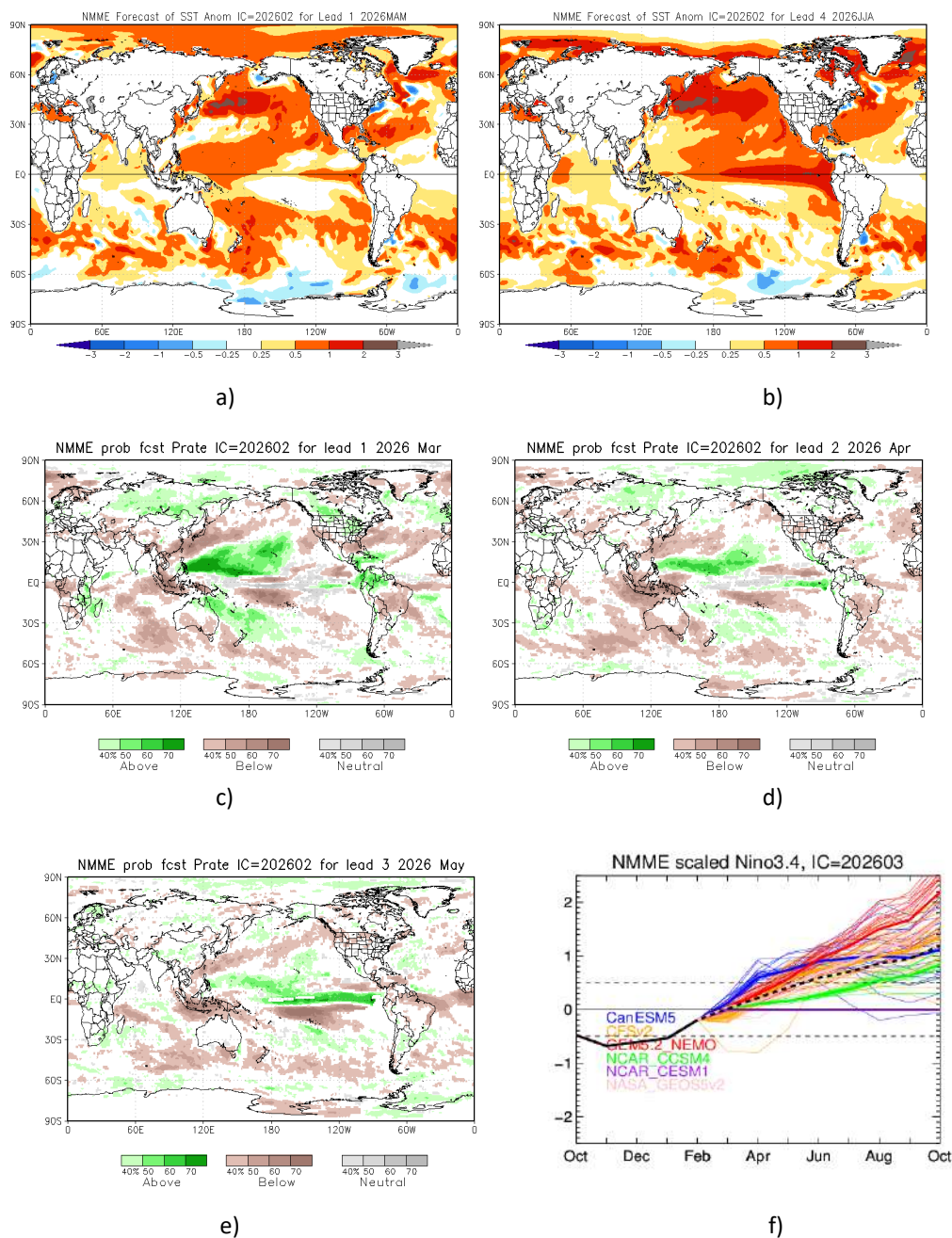


Figura 20. Mapa pronóstico para a) trimestre MAM de ATSM, b) trimestre JJA de ATSM, c) precipitación de marzo 2026, d) precipitación de abril 2026, e) precipitación de mayo 2026 y f) plumas de modelos del NMME para la región Niño 3.4. Fuente: NMME.

El pronóstico de la Oscilación de Madden–Julian (MJO) para el período comprendido entre mediados de febrero y el 05 de marzo de 2026 indica una señal mayormente débil o inactiva, en los cuadrantes 3, 4, 5 y 6. Hacia mediados del mes (días 10 al 14), el conjunto de pronósticos sugiere una leve proyección de la MJO hacia las fases 1 y 8, con señales de activación de baja intensidad (Figura 21).

Para Perú, según el análisis de pronósticos de anomalías de radiación en onda larga (OLR) de los componentes principales IC de la MJO, no se esperaría condiciones favorables para la ocurrencia de precipitaciones en el país. Para Chile, este comportamiento podría asociarse a un aumento de la nubosidad, principalmente en la zona centro y norte del país, sin que ello implique, necesariamente, un forzante significativo para eventos de precipitación de gran escala, dado el carácter débil de la señal (Figura 21).

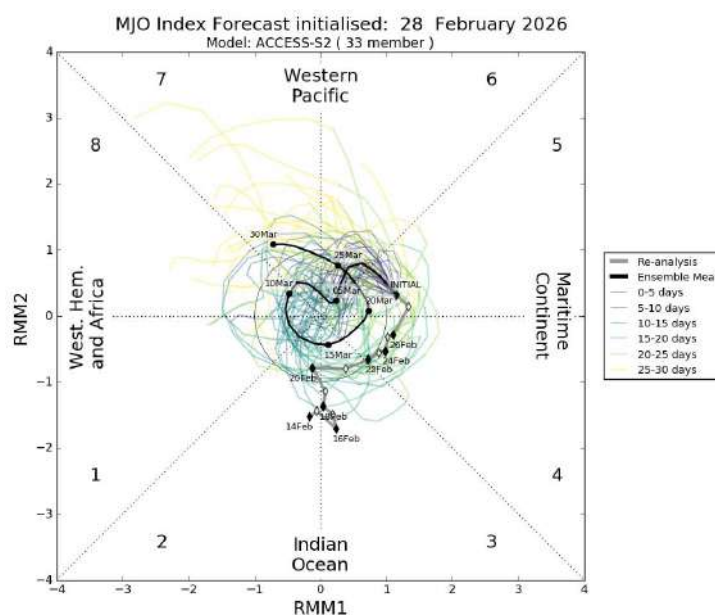


Figura 21. Diagrama de fases de la Oscilación de Madden-Julian (MJO) basado en el índice RMM, inicializado el 28 de febrero de 2026. Se muestra el análisis (reanálisis) y el pronóstico por conjuntos hasta 30 días, indicando la evolución prevista de la MJO y su amplitud. Fuente: Pronóstico MJO modelo ACCESS-S2, Bureau of Meteorology (BoM), Australia.

III. PERSPECTIVAS CLIMÁTICAS

Se prevé que para marzo y abril se mantenga fase neutra del ENOS, a pesar de la presencia de anomalías positivas de temperatura en algunos sectores del Pacífico ecuatorial. Por otro lado, en el Pacífico Sudeste se prevé la persistencia de temperaturas sobre lo normal, particularmente frente de la costa de Sudamérica. Este comportamiento podría asociarse a un calentamiento regional del Pacífico oriental, que responde a procesos oceánicos regionales que podría favorecer al inicio de la fase positiva de ENOS, El Niño.

Pronóstico Climático Trimestral (marzo 2026 – mayo 2026)

3.1. Colombia

Para el trimestre de marzo a mayo de 2026 se prevé un comportamiento variable de la precipitación, con predominio de condiciones cercanas a lo normal. Se esperan incrementos en la región Andina, la Orinoquía y sectores del Caribe. En la región Pacífica y la Amazonía se presentarán contrastes locales entre excesos y déficits, mientras que sobre el archipiélago de San Andrés y Providencia se esperan disminuciones de los volúmenes de precipitación durante el trimestre.

Respecto a la temperatura media del aire, para el periodo marzo a mayo de 2026 se prevén anomalías positivas de temperatura, con incrementos que podrán alcanzar hasta 1 °C, especialmente en mayo. En marzo las condiciones de temperatura muestran incrementos generalizados cercanos a 0.5°C en gran parte del territorio, exceptuando regiones como el centro de la Amazonía y el norte de la región Caribe, que tendrán comportamientos alineados con los promedios climatológicos 1991 – 2020.

3.2. Ecuador

Se prevé para el mes de marzo, en la región Litoral precipitaciones de alrededor de lo normal en el perfil costero y sobre lo normal en el interior de la región, intensificándose respecto a febrero, aunque con sectores puntuales por debajo de lo normal hacia el norte del perfil costero. En la región Interandina, se esperan precipitaciones alrededor de lo normal, con sectores puntuales sobre lo normal y persistencia de un déficit relativo en la zona centro, mientras que hacia el norte podrían presentarse ligeros excedentes. En la región Amazónica, se prevé un incremento en las estribaciones, con valores

sobre lo normal, especialmente hacia el sur, mientras que la llanura amazónica registrará valores alrededor de lo normal a por debajo de lo normal.

Para el mes de abril, en la región Litoral se mantendrían condición alrededor de lo normal en el perfil costero, con sectores puntuales por debajo de lo normal; mientras que en el interior de la región los valores continuarán entre alrededor de lo normal y superiores, con un patrón similar al de marzo. En la región Interandina se prevén precipitaciones alrededor de lo normal, con zonas específicas sobre lo normal en el norte y persistencia del déficit en la zona centro-sur. En la región Amazónica, las estribaciones mostrarán un incremento adicional en la intensidad de las lluvias respecto a marzo, con valores que podrían ubicarse sobre lo normal, especialmente hacia el sur; mientras que la llanura amazónica mantendría precipitaciones alrededor de lo normal a por debajo de lo normal.

3.3. Perú

Se prevén precipitaciones de normal a superior en gran parte del país, este escenario incluye la costa norte y la vertiente occidental andina en donde no se descartan lluvias de moderada a fuerte intensidad.

Se prevén temperaturas mínimas con valores superiores de lo normal en la costa; mientras que, condiciones entre normales y superiores en la sierra y la selva. Las temperaturas máximas se esperan valores superiores a lo normal en la costa; en tanto que, en la sierra predominarían condiciones dentro del rango normal y en la Amazonía condiciones entre normales y superiores.

3.4. Chile

Se prevé precipitación de condición mixta Normal / Sobre lo Normal en Putre, Toconce, y entre Los Ángeles y Balmaceda. Asimismo, condición mixta de Normal / Bajo lo Normal en Cauquenes y entre Ovalle y San Fernando. Se prevé condición Sobre lo Normal en Arica y Coyhaique. Las ciudades de Colchane, Curicó, Talca, Chillán, Concepción, Punta Arenas y Puerto Williams tendrían pronóstico indefinido. En las ciudades entre Camiña y Iquique, y entre Calama y La Serena se prevé se mantenga estación seca.

Se prevé temperaturas mínimas Sobre lo Normal entre Putre e Illapel, Valparaíso, Rodelillo, Santiago-Pudahuel, Melipilla, Puerto Aysén, y entre Puerto Natales y Puerto Williams. En cambio, condición Bajo lo Normal en Quillota, Chillán, Diguillín, Temuco, Valdivia, Osorno y Coyhaique. Se prevé condición mixta de Normal / Sobre lo Normal en La Serena, Quinta Normal- Santiago y Santo Domingo, y Normal / Bajo lo Normal en La Cruz, Pirque, Curicó, Concepción y Balmaceda. En Puerto Saavedra, Pucón, Puerto Montt y Futaleufú se prevé categoría indefinida. Las temperaturas máximas Sobre lo Normal en Iquique, Ovalle, Illapel, La Cruz, Rodelillo, Santiago- Pudahuel, Santiago- Quinta Normal, Futaleufú, Puerto Natales, entre Pirque y Temuco, y entre Pucón y Valdivia. En contraste, se prevé una condición Bajo lo Normal en Putre. En Quillota y Santo Domingo el pronóstico es indefinido. Condición mixta Normal / Sobre lo Normal en La Serena, Valparaíso, Puerto Saavedra, Osorno, Puerto Montt, Puerto Aysén, Balmaceda, Punta Arenas y Puerto Williams; mientras que, Normal / Bajo lo Normal en Copiapó y Coyhaique alto.

INFORMACIÓN SOBRE EL BOLETÍN DE ALERTA CLIMÁTICO DE LA CPPS (BAC)

El Boletín de Alerta Climático (BAC) es una publicación mensual de la CPPS en coordinación con instituciones gubernamentales de Colombia, Ecuador, Perú y Chile, donde se analizan las condiciones oceánicas y atmosféricas de la región del Pacífico Sudeste dentro del Estudio Regional del Fenómeno El Niño (ERFEN). La versión digital del BAC está disponible a partir del 10 de cada mes en las páginas web de la CPPS: <http://www.cpps-int.org>

Las sugerencias, comentarios o información científica serán bienvenidas al correo electrónico: dircient@cpps-int.org, o mediante comunicación escrita dirigida a la sede de la Comisión Permanente del Pacífico Sur, Secretaría General, Av. Francisco de Orellana y Miguel H. Alcívar, Edificio "Las Cámaras", Torre B, Planta baja; 593-4-3714390; sgeneral@cpps-int.org; Guayaquil, Ecuador.

Los correos de las instituciones aportantes en la elaboración del presente Boletín, se listan a continuación:

| INSTITUCIÓN | Dirección electrónica |
|--|--|
| DIMAR/CCCP-Centro de Investigaciones Oceanográficas e Hidrográficas del Pacífico (Colombia). | c CCP@dimar.mil.co |
| IDEAM -Instituto de Hidrología, Meteorología y Estudios Ambientales (Colombia). | meteorologia@ideam.gov.co |
| INOCAR - Instituto Oceanográfico de la Armada (Ecuador). INAMHI- (Instituto Nacional de Meteorología e Hidrología) | inocar@inocar.mil.ec agroclima@inamhi.gob.ec |
| DIHIDRONAV - Dirección de Hidrografía y Navegación (Perú). SENAMHI – Servicio Nacional de Meteorología e Hidrología del Perú (Perú) | oceanografia@dhn.mil.pe clima@senamhi.gob.pe |
| SHOA –Servicio Hidrográfico y Oceanográfico de la Armada (Chile). | shoa@shoa.cl |
| DMC - Dirección de Meteorología (Chile). | metapli@meteochile.cl |

Cite este boletín como: Comité Regional ERFEN, 2026 BOLETÍN de Alerta Climática; BAC Nro. 425 Comisión Permanente del Pacífico Sur. <http://cpps-int.org/index.php/nodo-de-conocimiento/nodo-oceano/bac>

PARTICIPARON EN LA ELABORACIÓN DE ESTE BOLETÍN

COLOMBIA

CCCP: Sra. Laura Marcela Vásquez López
Sr. Joao Camilo Quijano Ferrín
IDEAM: Sra. Jeimmy Yanelly Melo Franco
Sr. José Franklyn Ruiz Murcia

ECUADOR

INOCAR: Sra. Leonor Vera San Martín
Sr. Jorge Nath Nieto
Srta. Jacqueline Rivas
Sra. Sandra Torres
Sr. David Galarza
Sr. Alejandro Erazo

PERÚ

DIHIDRONAV: Sra. Rina Gabriel Valverde
Sr. Alfredo Alvarado
Sra. Rosario Deza Cueva
Colaboradores: Sr. Renzo Adrianzén Pereyra
Sr. Roberto Chauca Hoyos

CHILE

SHOA: Sr. Julio Castro Barraza
Sra. Mónica Alvarado N.
Sra. Carmina González H.
DMC: Sra. Claudia Cruz
Sra. Elizabeth Lobos
Sra. Catalina Medina

EDICIÓN REGIONAL

Dirección de Hidrografía y Navegación – PERÚ
Sr. Marco Bartens
Sra. Rina Gabriel Valverde
Sra. Rosario Deza Cueva

COORDINACIÓN EDICIÓN GENERAL REGIONAL

Sr. Salvador Vega Telias
Secretario General de la CPPS
Sr. Edwin Pinto Usocovich
Director de Asuntos Científicos y Recursos Pesqueros de la CPPS
Sra. Miriam Lucero Muñoz
Asesora Técnica de la Dirección de Asuntos Científicos y Recursos Pesqueros de la CPPS

ISBN: 978-9942-669-24-7

